

Starkniederschlagshöhen und -spenden gemäß KOSTRA-DWD-2020

Rasterfeld 95140

(Zeile 95, Spalte 140)

Regenspende und Bemessungsniederschlagswerte in Abhängigkeit von Wiederkehrzeit T und Dauerstufe D

| Dauerstufe D | | Wiederkehrzeit T | | | | | | | | | | | | | | | | | |
|--------------|-----|------------------|------------|------|------------|------|------------|------|------------|------|------------|-------|------------|-------|------------|-------|------------|-------|------------|
| | | 1 a | | 2 a | | 3 a | | 5 a | | 10 a | | 20 a | | 30 a | | 50 a | | 100 a | |
| min | Std | mm | l / (s ha) | mm | l / (s ha) | mm | l / (s ha) | mm | l / (s ha) | mm | l / (s ha) | mm | l / (s ha) | mm | l / (s ha) | mm | l / (s ha) | mm | l / (s ha) |
| 5 | | 6,7 | 223,3 | 8,1 | 270,0 | 9,0 | 300,0 | 10,1 | 336,7 | 11,8 | 393,3 | 13,5 | 450,0 | 14,7 | 490,0 | 16,1 | 536,7 | 18,3 | 610,0 |
| 10 | | 8,5 | 141,7 | 10,3 | 171,7 | 11,4 | 190,0 | 12,9 | 215,0 | 15,1 | 251,7 | 17,3 | 288,3 | 18,7 | 311,7 | 20,6 | 343,3 | 23,3 | 388,3 |
| 15 | | 9,7 | 107,8 | 11,7 | 130,0 | 13,0 | 144,4 | 14,7 | 163,3 | 17,1 | 190,0 | 19,6 | 217,8 | 21,3 | 236,7 | 23,4 | 260,0 | 26,5 | 294,4 |
| 20 | | 10,5 | 87,5 | 12,8 | 106,7 | 14,2 | 118,3 | 16,0 | 133,3 | 18,7 | 155,8 | 21,4 | 178,3 | 23,2 | 193,3 | 25,5 | 212,5 | 28,9 | 240,8 |
| 30 | | 11,8 | 65,6 | 14,4 | 80,0 | 16,0 | 88,9 | 18,0 | 100,0 | 21,0 | 116,7 | 24,1 | 133,9 | 26,1 | 145,0 | 28,7 | 159,4 | 32,5 | 180,6 |
| 45 | | 13,3 | 49,3 | 16,1 | 59,6 | 17,9 | 66,3 | 20,2 | 74,8 | 23,5 | 87,0 | 27,0 | 100,0 | 29,2 | 108,1 | 32,2 | 119,3 | 36,4 | 134,8 |
| 60 | 1 | 14,4 | 40,0 | 17,4 | 48,3 | 19,3 | 53,6 | 21,9 | 60,8 | 25,5 | 70,8 | 29,2 | 81,1 | 31,6 | 87,8 | 34,8 | 96,7 | 39,4 | 109,4 |
| 90 | 1,5 | 16,0 | 29,6 | 19,5 | 36,1 | 21,6 | 40,0 | 24,4 | 45,2 | 28,4 | 52,6 | 32,6 | 60,4 | 35,3 | 65,4 | 38,9 | 72,0 | 44,0 | 81,5 |
| 120 | 2 | 17,3 | 24,0 | 21,0 | 29,2 | 23,3 | 32,4 | 26,4 | 36,7 | 30,7 | 42,6 | 35,2 | 48,9 | 38,2 | 53,1 | 42,0 | 58,3 | 47,5 | 66,0 |
| 180 | 3 | 19,3 | 17,9 | 23,4 | 21,7 | 26,0 | 24,1 | 29,4 | 27,2 | 34,2 | 31,7 | 39,2 | 36,3 | 42,5 | 39,4 | 46,8 | 43,3 | 53,0 | 49,1 |
| 240 | 4 | 20,8 | 14,4 | 25,3 | 17,6 | 28,1 | 19,5 | 31,7 | 22,0 | 36,9 | 25,6 | 42,3 | 29,4 | 45,9 | 31,9 | 50,5 | 35,1 | 57,2 | 39,7 |
| 360 | 6 | 23,2 | 10,7 | 28,2 | 13,1 | 31,2 | 14,4 | 35,3 | 16,3 | 41,1 | 19,0 | 47,1 | 21,8 | 51,1 | 23,7 | 56,2 | 26,0 | 63,6 | 29,4 |
| 540 | 9 | 25,8 | 8,0 | 31,3 | 9,7 | 34,8 | 10,7 | 39,3 | 12,1 | 45,8 | 14,1 | 52,5 | 16,2 | 56,8 | 17,5 | 62,6 | 19,3 | 70,8 | 21,9 |
| 720 | 12 | 27,8 | 6,4 | 33,8 | 7,8 | 37,5 | 8,7 | 42,4 | 9,8 | 49,4 | 11,4 | 56,6 | 13,1 | 61,3 | 14,2 | 67,5 | 15,6 | 76,4 | 17,7 |
| 1080 | 18 | 31,0 | 4,8 | 37,6 | 5,8 | 41,7 | 6,4 | 47,1 | 7,3 | 54,9 | 8,5 | 62,9 | 9,7 | 68,2 | 10,5 | 75,1 | 11,6 | 85,0 | 13,1 |
| 1440 | 24 | 33,4 | 3,9 | 40,5 | 4,7 | 45,0 | 5,2 | 50,8 | 5,9 | 59,2 | 6,9 | 67,9 | 7,9 | 73,6 | 8,5 | 81,0 | 9,4 | 91,6 | 10,6 |
| 2880 | 48 | 40,0 | 2,3 | 48,6 | 2,8 | 54,0 | 3,1 | 61,0 | 3,5 | 71,0 | 4,1 | 81,4 | 4,7 | 88,2 | 5,1 | 97,1 | 5,6 | 109,9 | 6,4 |
| 4320 | 72 | 44,5 | 1,7 | 54,1 | 2,1 | 60,0 | 2,3 | 67,8 | 2,6 | 79,0 | 3,0 | 90,5 | 3,5 | 98,1 | 3,8 | 108,0 | 4,2 | 122,2 | 4,7 |
| 5760 | 96 | 48,0 | 1,4 | 58,3 | 1,7 | 64,7 | 1,9 | 73,1 | 2,1 | 85,2 | 2,5 | 97,6 | 2,8 | 105,8 | 3,1 | 116,5 | 3,4 | 131,8 | 3,8 |
| 7200 | 120 | 50,9 | 1,2 | 61,8 | 1,4 | 68,6 | 1,6 | 77,5 | 1,8 | 90,3 | 2,1 | 103,5 | 2,4 | 112,2 | 2,6 | 123,5 | 2,9 | 139,7 | 3,2 |
| 8640 | 144 | 53,4 | 1,0 | 64,9 | 1,3 | 72,0 | 1,4 | 81,3 | 1,6 | 94,7 | 1,8 | 108,6 | 2,1 | 117,7 | 2,3 | 129,5 | 2,5 | 146,6 | 2,8 |
| 10080 | 168 | 55,6 | 0,9 | 67,5 | 1,1 | 74,9 | 1,2 | 84,6 | 1,4 | 98,6 | 1,6 | 113,1 | 1,9 | 122,5 | 2,0 | 134,9 | 2,2 | 152,6 | 2,5 |

Starkniederschlagshöhen und -spenden gemäß KOSTRA-DWD-2020

Rasterfeld 95140

(Zeile 95, Spalte 140)

Örtliche Unsicherheiten in Abhängigkeit von Wiederkehrzeit T und Dauerstufe D

| Dauerstufe D | | Wiederkehrzeit T | | | | | | | | |
|--------------|-----|------------------|-----|-----|-----|------|------|------|------|-------|
| | | 1 a | 2 a | 3 a | 5 a | 10 a | 20 a | 30 a | 50 a | 100 a |
| min | Std | ± % | ± % | ± % | ± % | ± % | ± % | ± % | ± % | ± % |
| 5 | | 12 | 13 | 13 | 14 | 15 | 16 | 16 | 16 | 17 |
| 10 | | 13 | 15 | 16 | 17 | 18 | 19 | 19 | 20 | 21 |
| 15 | | 15 | 17 | 17 | 18 | 20 | 21 | 21 | 22 | 22 |
| 20 | | 15 | 17 | 18 | 19 | 21 | 22 | 22 | 23 | 23 |
| 30 | | 15 | 18 | 19 | 20 | 21 | 22 | 23 | 23 | 24 |
| 45 | | 15 | 17 | 19 | 20 | 21 | 22 | 23 | 23 | 24 |
| 60 | 1 | 15 | 17 | 18 | 19 | 21 | 22 | 22 | 23 | 24 |
| 90 | 1,5 | 14 | 16 | 17 | 19 | 20 | 21 | 21 | 22 | 23 |
| 120 | 2 | 13 | 15 | 17 | 18 | 19 | 20 | 21 | 21 | 22 |
| 180 | 3 | 12 | 14 | 15 | 17 | 18 | 19 | 19 | 20 | 21 |
| 240 | 4 | 11 | 14 | 15 | 16 | 17 | 18 | 19 | 19 | 20 |
| 360 | 6 | 11 | 13 | 14 | 15 | 16 | 17 | 17 | 18 | 19 |
| 540 | 9 | 10 | 12 | 13 | 14 | 15 | 16 | 16 | 17 | 18 |
| 720 | 12 | 10 | 11 | 12 | 13 | 14 | 15 | 16 | 16 | 17 |
| 1080 | 18 | 10 | 11 | 12 | 13 | 14 | 15 | 15 | 16 | 16 |
| 1440 | 24 | 10 | 11 | 12 | 13 | 14 | 14 | 15 | 15 | 16 |
| 2880 | 48 | 12 | 12 | 13 | 13 | 14 | 14 | 14 | 15 | 15 |
| 4320 | 72 | 14 | 13 | 14 | 14 | 14 | 14 | 15 | 15 | 15 |
| 5760 | 96 | 15 | 14 | 14 | 14 | 15 | 15 | 15 | 15 | 16 |
| 7200 | 120 | 16 | 15 | 15 | 15 | 15 | 15 | 16 | 16 | 16 |
| 8640 | 144 | 17 | 16 | 16 | 16 | 16 | 16 | 16 | 16 | 16 |
| 10080 | 168 | 18 | 17 | 16 | 16 | 16 | 16 | 16 | 16 | 17 |

Parameter für abweichende T und D

Lokationsparameter ξ (Xi)

14,53494052

Skalenparameter α (Alpha)

4,33843193

Formparameter κ (Kappa)

-0,1

1. Koutsoyiannis-Parameter θ (Theta)

0,01599441

2. Koutsoyiannis-Parameter η (Eta)

0,73803314

Parameter für dauerstufenübergreifende Extremwertschätzung nach KOUTSOYIANNIS et al. 1998.

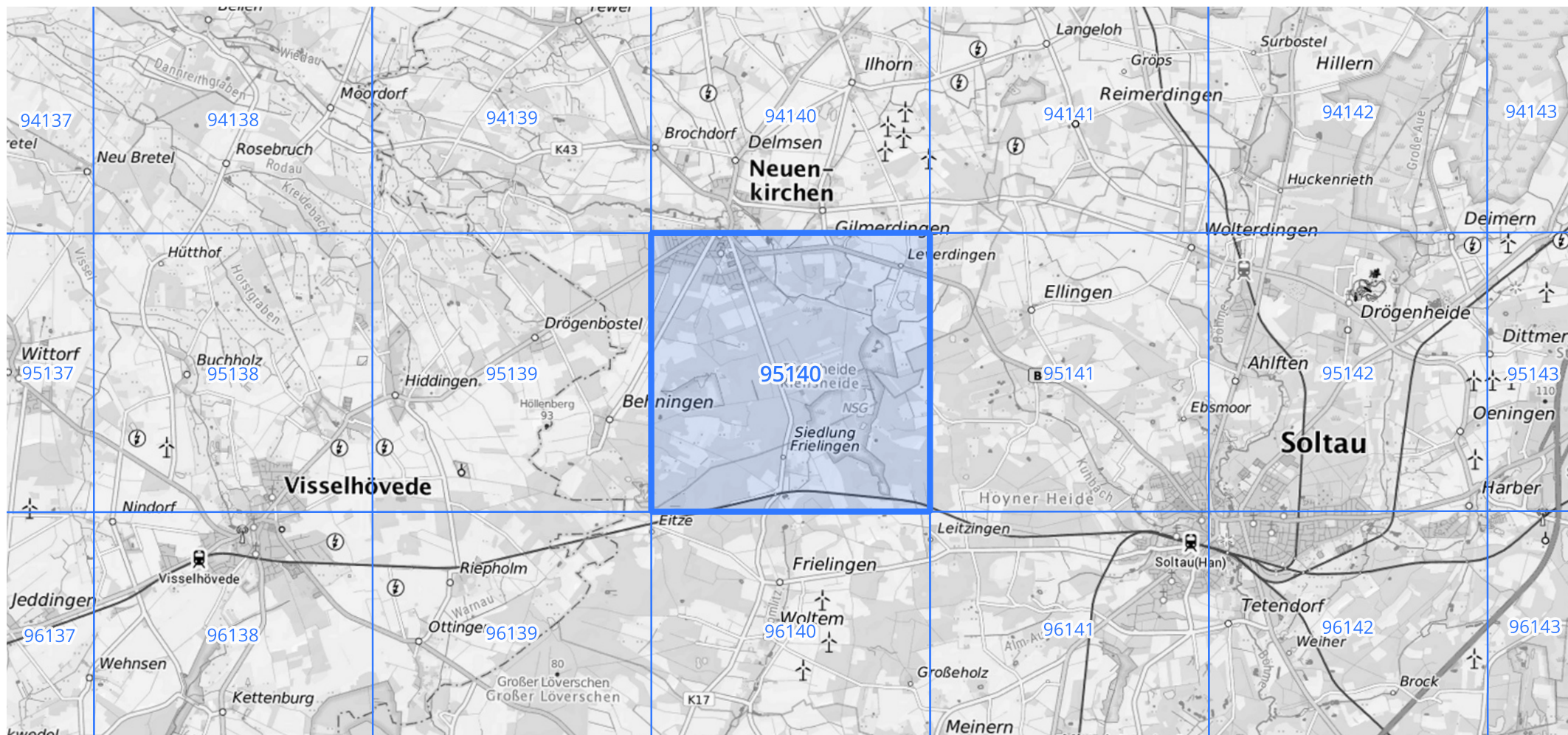
Siehe auch Anwendungshilfe zu KOSTRA-DWD-2020 des Deutschen Wetterdienstes.

Starkniederschlagshöhen und -spenden gemäß KOSTRA-DWD-2020

Rasterfeld 95140

(Zeile 95, Spalte 140)

Übersichtskarte des Rasterfeldes 95140, M 1 : 100 000



Quelle Rasterdaten: KOSTRA-DWD-2020 des Deutschen Wetterdienstes, Stand 12/2022.

Seite 3 von 3

Kartendarstellung: © Bundesamt für Kartographie und Geodäsie (2023), Datenquellen: https://sgx.geodatenzentrum.de/web_public/gdz/datenquellen/Datenquellen_TopPlusOpen.html

Für die Richtigkeit und Aktualität der Angaben wird keine Gewähr übernommen. Erstellt 01/2023.